

AL-Rafidain
University College

PISSN: (1681-6870); EISSN: (2790-2293)

مجلة كلية الرافدين الجامعية للعلومAvailable online at: <https://www.jrucs.iq>**JRUCS**Journal of AL-Rafidain
University College
for Sciences**استعمال تعليم الآلة في النماذج الإحصائية للتنبؤ السكاني في العراق**

مريم محمد سلمان maryam90salman@gmail.com	عمر عادل عبدالوهاب omaradil.d87@gmail.com
جامعة ابن سينا للعلوم الطبية والصيدلانية، بغداد، العراق	قسم الاحصاء، كلية الادارة والاقتصاد، جامعة ديالى، ديالى، العراق

معلومات البحث**توارikh البحث:**

تاريخ تقديم البحث: 18/2/2024
 تاريخ قبول البحث: 12/4/2024
 تاريخ رفع البحث على الموقـع: 31/12/2024

الكلمات المفتاحية:
 الاسقاطات السكانية، تعليم الآلة، الشبكات
 العصبية، ARIMA ، التنبؤ

للمراسلة
 عمر عادل عبدالوهاب
omaradil.d87@gmail.com

DOI: <https://doi.org/10.55562/jrucs.v56i1.8>**المستخلص**

ان النماذج الاحصائية تعتبر الركيزة الاساسية لاي عملية تخطيط مستقبلي في اي بلد، اذ تستخدم الحكومات والقطاع الخاص التنبؤات السكانية في التخطيط. ان الغرض الأساسي للحكومة هو توفير الخدمات للمواطنين، وهذا يتطلب معرفة عدد الأشخاص الذين سيتواجدون في المستقبل، وغالباً ما يتم تقسيمهم حسب العمر والجنس وخصائص أخرى، مثل العرق. والجغرافيـا إلى اخره. كما تُستخدم التنبؤات السكانية على نطاق واسع في القطاع الخاص للتخطيط الاستراتيجي، أذ تعتبر الاسقاطات السكانية من اهم المؤشرات الأدوات التي يستخدمها الباحثون وصانعو السياسات لهم وتحليل تطورات السكان على مدى الوقت. تم في هذا البحث استخدام تعليم الآلة والمتمثلة بالشبكات العصبية، بالإضافة الى استخدام طريقة كلاسيكية وهي آنماذج السلسل الزمنية ARIMA للتنبؤ بالاسقاطات السكانية. اذ تم تقسيم البيانات الداخلة في الاسلوبين الى 70 % تدريب و30% اختبار، وتم التنبؤ لخمس سنوات قادمة لعدد سكان العراق. اذ توصل البحث الى افضلية تعليم الآلة في التقدير كونه يمتلك اقل MAPE واعلى R². حيث بلغ عدد سكان العراق لعام 2028 هو 3113.47516 (بالآلاف).

1. المقدمة

الهدف الرئيسي للدولة هو تقديم خدمات عالية المستوى لمواطني البلاد. للقيام بذلك، من الضروري معرفة عدد الأشخاص الذين سيكونون في المستقبل، وفي بعض الحالات، التكوين المستقبلي للسكان، العدد حسب الجنس والعمـر. إن النظر في التغيرات المحتملة في عدد السكان وبنائهم العمـرية يلعب دوراً مهماً في تحديد الخطوات التي يجب اتخاذها للتنمية المستقبلية. فالالتخطيط الرفيع المستوى يمكن أن يبني بشكل فعال بنية تحتية وطنية سلـيمـة ويبـحـسـنـ نوعـيـةـ الخـدـمـاتـ المـقـدـمـةـ لـلـسـكـانـ. بدون التنبؤات السكانية، في مجال تعزيز نظام الحماية الاجتماعية للسكان، والحد من الفقر، ورفع مستوى معيشة السكان، وما إلى ذلك.

لا يمكن وضع استراتيجيات في هذه الاتجاهات، والتخطيط على المدى الطويل التنمية الاجتماعية والاقتصادية المعقـدة [2]. كما تُستخدم الإسقاطات الديموغرافية (السكانية) على نطاق واسع في التخطيط الاستراتيجي في القطاع الخاص، من قبل الأكـادـيمـيـينـ وـغـيرـهـمـ منـ الـبـاحـثـيـنـ، وـخـاصـةـ فـيـ مـجاـلـاتـ التـعـلـيمـ وـالـصـحةـ وـالـعـلـومـ الـاجـتمـاعـيـةـ [3].

يتم إعداد التنبؤات السكانية الوطنية والدولية حسب حجم السكان والعمـرـ وـالـجـنـسـ منـ قـبـلـ العـدـيدـ مـنـ المنـظـمـاتـ ذاتـ السـمعـةـ الطـبـيـةـ فـيـ الـعـالـمـ، حيثـ انـ الـأـمـمـ الـمـتـحـدـةـ هيـ الـمـنـظـمـةـ الرـئـيـسـيـةـ الـتـيـ تـقـوـمـ بـإـعـدـادـ التـقـدـيرـاتـ وـالـتـنـبـؤـاتـ السـكـانـيـةـ الـمـحـدـثـةـ باـنـتـظـامـ [11]. وـقـدـمـتـ تقـدـيرـاتـ سـكـانـيـةـ لـ237ـ دـوـلـةـ وـإـسـقـاطـاتـ لـلـأـعـدـادـ حـسـبـ العـمـرـ وـالـجـنـسـ حـتـىـ عـامـ 20100، بـنـاءـ عـلـىـ تـحـلـيلـ الـاتـجـاهـاتـ الـدـيمـوـغـرـافـيـةـ التـارـيـخـيـةـ بدـءـاـ مـنـ عـامـ 1950 [5]. وقد ثـسـرـتـ هـذـهـ التـوـقـعـاتـ مـذـ عـامـ 1953ـ فـيـ مـنشـورـ التـوـقـعـاتـ السـكـانـيـةـ الـعـالـمـيـةـ. تـسـتـخـدـمـ التـوـقـعـاتـ كـبـيـانـاتـ مـدـخـلـةـ فـيـ نـمـذـجـةـ الـفـضـيـاـ الـعـالـمـيـةـ مـثـلـ الـأـمـنـ الـغـذـائـيـ وـتـغـيـرـ الـمنـاخـ. تـسـتـخـدـمـ العـدـيدـ مـنـ الـبـلـادـ أـيـضاـ بـيـانـاتـ التـوـقـعـاتـ هـذـهـ لـلـتـخـطـيطـ الـوطـنـيـ [2، 3].

وفي بعض البلدان، تقوم الحكومات الوطنية بإعداد هذه التوقعات. تتضمن هذه التوقعات عادةً تنبؤات للسنوات الأربعين إلى الخمسين القادمة أو نحو ذلك. على سبيل المثال، بالنسبة لقضايا الوطنية الكبرى المتعلقة بالبنية التحتية وتخطيط القوى العاملة، يتوقع مكتب الإحصاء الأمريكي أن عدد سكان الولايات المتحدة سوف ينمو على مدى الأربعين سنة القادمة [3]. تتبأ الحكومة اليابانية بمستقبل سكانها خلال الخمسين سنة القادمة [4]. تضع إدارة الضمان الاجتماعي الأمريكية ميزانيتها للسنوات الـ 75 القادمة، والتي تتضمن توقعات الوفيات وغيرها من التوقعات السكانية لتلك الفترة المتقدمة [2, 5].

إن التوافر المتزايد لكميات كبيرة من البيانات التاريخية وال الحاجة إلى التنبؤ الدقيق بالسلوك المستقبلي في عدد من المجالات العلمية والتطبيقية قد استلزم استخدام أساليب موثوقة وفعالة [2]. منذ ستينيات القرن العشرين، لعبت الأساليب الإحصائية الخطية مثل نماذج الانحدار الذاتي للمتوسط المتحرك المتكامل (ARIMA) دوراً مهمًا في مجال التنبؤ [12]. تشير بعض الدراسات إلى أن هذه الأساليب توفر قيماً تنبؤية أقل بشكل منهجي من الطرق الإحصائية البسيطة وتكون صالحة مع أحجام عينات منخفضة للغاية [6]. في الآونة الأخيرة، اكتسبت نماذج التعلم الآلي الاهتمام وبرزت كمنافس جدي للنماذج الإحصائية الكلاسيكية في مجتمع التنبؤ. على الرغم من أن نموذج ARIMA كان أداوه أفضل في العديد من الحالات، إلا أن الباحثين خلصوا إلى أن نماذج التعلم الآلي أكثر قدرة على التنبؤ بمجموعات البيانات الأكبر [5]. وثبتت الاستخدام الواسع النطاق لخوارزميات التعلم الآلي في السنوات الأخيرة من الأبحاث حول التنبؤ بالسلال الزمنية، وكذلك السلاسل الزمنية الديموغرافية، ذلك مرة أخرى [1].

في السنوات الأخيرة، ظهرت نماذج تعلم الآلة كمنافس جدي للنماذج الإحصائية الكلاسيكية في مجتمع التنبؤ [3]. يستخدم نموذج التعلم الآلي تقنيات تتعلم و تدرب باستخدام البيانات الموجودة لإجراء اتصالات بين بيانات الإدخال والإخراج [2]. يمكن لنموذج تعلم الآلة الذي تم تدريبه بنجاح تحليل البيانات وإجراء تنبؤات صحيحة حتى في حالة عدم توفر البيانات التاريخية لمنطقة الدراسة أو فقدان بعض ميزات الإدخال [10].

ومع ذلك، على الرغم من استخدام بعض خوارزميات التعلم الآلي في دراسات أخرى، إلا أنه لم يتم اختبارها في التنبؤ السكاني في العراق. تم في هذا البحث استخدام تعلم الآلة والمتمثلة بالشبكات العصبية وكذلك نموذج السلاسل الزمنية ARIMA للتنبؤ السكاني في العراق. إذ ان الهدف من هذا البحث هو بناء أفضل نموذج للتعلم الآلي لبيانات السلاسل الزمنية للسكان وإجراء تنبؤ صحيح بحجم سكان العراق للسنوات الخمس القادمة.

2. الاسقاطات السكانية

تناول الآن بعض المفاهيم الأساسية للإسقاطات السكانية، تم تحديد طريقة المكونات الأثرية للإسقاط السكاني (CCMPP) لأول مرة بواسطة كانان (1895)، وتم تطويرها بمزيد من التفصيل بواسطة ويلتون (1928, 1936) [3]. وأصبحت الطريقة القياسية التي يستخدمها مكتب الإحصاء الأمريكي بدءاً من الأربعينيات، ثم انتشرت بعد ذلك في جميع أنحاء العالم [4]. ويتم استخدامه الآن من قبل معظم الوكالات الوطنية التي تنتج التنبؤات السكانية، إنها طريقة حتمية (أي غير احتمالية) [7]. وفي الوقت نفسه، تم إضفاء الطابع الرسمي على الطريقة رياضياً بواسطة ليزلي (1945)، باستخدام ما أصبح يعرف باسم مصفوفة ليزلي كمفهوم أساسي لها [1]. للحصول على المكونات الثلاثة للتغير السكاني هي الولادات والوفيات والهجرة، وتحدث هذه في وقت مستمر ولكن يتم تجميعها عادةً في فترات زمنية [11]. ونتيجة لذلك، تشير معظم البيانات الديموغرافية (أعداد المواليد والوفيات وأحداث الهجرة) إلى فترات زمنية منفصلة مثل السنوات أو فترات الخمس سنوات [10]. تعتبر الرياضيات الخاصة بعمليات الزمن المستمر الأساسية بسيطة نسبياً، وإن طرق تحليل البيانات الزمنية المنفصلة المتاحة للعلماء الديموغرافيين تتطوّر حتماً على تقديرات تقريرية يمكن أن تكون معددة إلى حد ما [4]. وإن من أهم المؤشرات السكانية هي: معدل الوفيات، معدل الخصوبة والهجرة [6].

3. تعليم الآلة

قبل بدء الشرح لأساليب التعلم الآلي، لابد ان يكون لدينا فهم جيد لماهية التعلم الآلي [9]. ويمكن تعريف تعلم الآلة على انه فرع من الذكاء الاصطناعي، الذي يستخدم مجموعة متنوعة من الأدوات الإحصائية والاحتمالية والاحتمالية "للتعلم" [5]. من الأمثلة السابقة ثم استخدام هذا التدريب المسبق لتصنيف البيانات الجديدة أو تحديد أنماط جديدة أو التنبؤ بالاتجاهات الجديدة [3]. يُستخدم التعلم الآلي، مثل الإحصائيات، لتحليل البيانات وتفسيرها [9]. على عكس الإحصائيات، يمكن أن تستخدم أساليب التعلم الآلي المنطق البولياني (AND, OR, NOT)، والشروطية المطلقة (THEN, IF)، والاحتمالات الشرطية (احتمال X مع Y) واستراتيجيات التحسين غير التقليدية لنماذج البيانات أو تصنيف الأنماط. تشبه هذه الأساليب الأخيرة في الواقع الأساليب التي يستخدمها البشر عادةً للتعلم والتصنيف [11]. لا يزال التعلم الآلي يعتمد بشكل كبير على الإحصائيات والاحتمالات، لكنه أقوى بشكل أساسي لأنّه يسمح باتخاذ استنتاجات أو قرارات لا يمكن اتخاذها باستخدام المنهجيات الإحصائية التقليدية [6]. على سبيل المثال، تعتمد العديد من الأساليب الإحصائية على تحليل الانحدار أو الارتباط متعدد المتغيرات على الرغم من كونها قوية جداً بشكل عام، إلا أن هذه الأساليب تفترض أن المتغيرات مستقلة وأن البيانات يمكن نمذجتها باستخدام مجموعات خطية من هذه المتغيرات [12]. عندما تكون العلاقات غير خطية وتكون المتغيرات مترابطة (أو تعتمد بشكل مشروط)، فإن الإحصائيات التقليدية عادةً ما تتعثر. في هذه الحالات يميل التعلم الآلي إلى النماذج غير خطية [4].

ان تعليم الآلة يستند على خطوات أساسية في عمله والتي هي [2,8,10]:

- ✓ اختيار النموذج: هناك أنواع مختلفة من نماذج التعلم الآلي، كل منها مناسب لأنواع مختلفة من المهام.
- ✓ تدريب النموذج: خلال مرحلة التدريب، يتم تغذية نموذج التعلم الآلي المحدد ببيانات المعايرة. يقوم النموذج بضبط معلماته الداخلية بشكل متكرر لقليل الفرق بين تنبؤاته والقيم الفعلية في بيانات التدريب. تتم هذه العملية عادةً باستخدام خوارزميات التحسين.

- ✓ **تقييم النموذج:** بمجرد تدريب النموذج، يجب تقييمه لتقدير أدائه على البيانات غير المرئية. ويتم ذلك عادةً عن طريق تقسيم البيانات المتأحة إلى مجموعات تدريب وختبار. تعتمد مقاييس التقييم الشائعة على نوع المشكلة التي يتم حلها، مثل الدقة أو الدقة أو الاستدعاء أو درجة F1 للتصنيف أو متوسط الخطأ التربيعي أو R^2 للانحدار.
- ✓ **ضبط النموذج:** اعتماداً على أداء النموذج، قد يحتاج إلى ضبط دقيق عن طريق ضبط المعلمات أو حتى عن طريق تحديد خوارزمية مختلفة. تسمى هذه العملية ضبط المعلمة ويتم إجراؤها غالباً باستخدام تقنيات تحدد.

4. الشبكات العصبية

الشبكات العصبية الاصطناعية انتشرت في السنوات الأخيرة في العديد من المجالات؛ يمكن تعريف ANN بأنها شبكات معالجات بسيطة تتكون من وحدات وعقد وخلايا عصبية. وترتبط هذه المعالجات بوصلات اتصال أحادية الاتجاه تحمل بيانات رقمية [1]. إنه يعمل مثل الدماغ من ناحيتين؛ يتم استخدام اتصال نقاط قوة Interneuron المعروفة باسم الأوزان المشبكية لتخزين المعرفة وتم الحصول على المعرفة بواسطة الشبكة من خلال عملية التعلم [3].

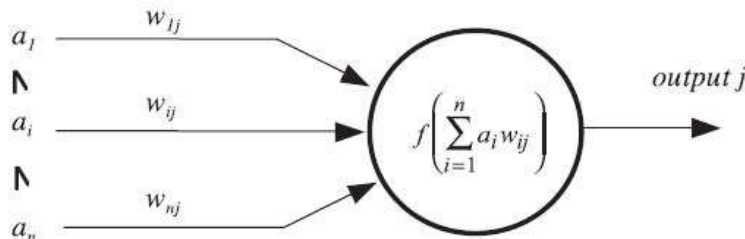
تم تصميم ANN على شكل صندوق أسود يحتوي على مدخلات وينتج مخرجات؛ وتعتمد وظيفة الصندوق الأسود على بنية الشبكات العصبية وجميع الخلايا العصبية في هذا الهيكل للنموذج [4]. جاء الاهتمام بالشبكة العصبية الاصطناعية (ANN) من قدرة دماغ الإنسان على تنظيم الخلايا العصبية لتنفيذ عمليات حسابية معينة، مثل التعرف على الأسلوب، والتمييز، وبسرعة تفوق سرعة أسرع كمبيوتر رقمي في هذه الأيام [1]. تستمد الشبكة ANN قوتها الحسابية من خلال بنيتها الموزعة المتوازية الضخمة وقدرتها على التعلم والتعلم [2]. ويشير التعميم إلى قدرة الشبكة العصبية الاصطناعية على تقديم استجابات كافية للمدخلات، وهو ما احتجت أثناء تدريبيها ويمكننا أن نقول عملية "التعلم"، تحتوي نماذج ANN على خصائص مفيدة [3]. يتم سرد هذه الخصائص على النحو التالي: اللاخطية، والتكيف، والقدرة على تنفيذ VLSI، والقياس العصبي البيولوجي [2]. بشكل عام، تكون الشبكة العصبية الاصطناعية من ثلاثة مكونات: طوبولوجيا الشبكة، والخلايا العصبية، وخوارزمية التعلم [11]. الخلايا العصبية هي المكونات التي يتم فيها الحساب في أنظمة ANN. يوضح الشكل 1 أن الخلايا العصبية تتلقى إشارات من مدخلات أخرى من خلال الارتباطات. يمكن صياغة هذه الإشارات كمتوجه للمدخلات.

$$A = (a_1, L, a_i, L, a_n) \quad (1)$$

الارتباطات مع كل زوج من الخلايا العصبية المتصلة هي قيمة قابلة للتعديل تسمى الوزن. ترتبط هذه الأوزان بالخلية العصبية ز ويمكن صياغتها كمتوجه للشكل.

$$W_j = (w_{1j}, L, w_{ij}, L, w_{nj}) \quad (2)$$

حيث يمثل W_{ij} قوة الاتصال من الخلية العصبية a_i إلى الخلية العصبية a_j



شكل (1): يمثل العقدة في الشبكة العصبية

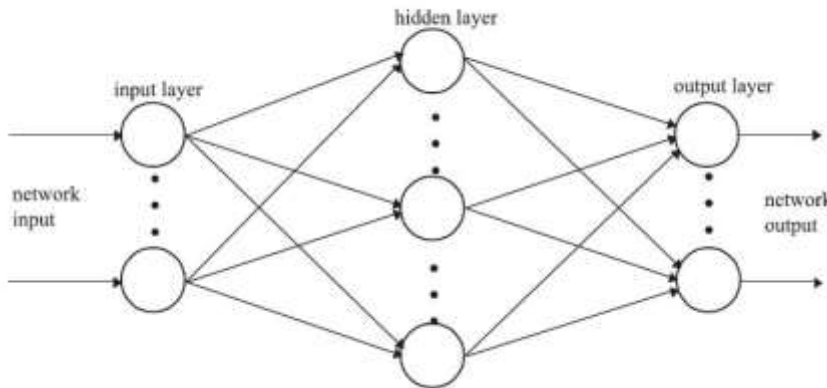
للخلية العصبية حد محلي، وعندما تتجاوز هذه الحدود عتبة، يمكنها نشر جهة اتصالها من خلال اتصالاتها مع الخلايا العصبية الأخرى. يمكن أن تكون الخلايا العصبية نشطة في نفس الوقت، وبالتالي يمكن اعتبار الشبكات العصبية أنظمة حسابية متوازية [2]. يمكن تعريف قيمة الإخراج للخلية العصبية j على النحو التالي:

$$\text{output}_j = f\left(\sum_{i=1}^n a_i w_{ij}\right) \quad (3)$$

هناك العديد من الوظائف التي يمكن استخدامها. جزء من هذه الوظائف هي غير الخطية، الخطية، الغوسية، والسينية. تحد الدالة السيني خياراً شائعاً ويمكن كتابتها بواسطة:

$$f(x) = \frac{1}{1+e^{-x}} \quad (4)$$

يتم ربط الخلايا العصبية ANN معاً ويتم الحصول على سلوك النظام الإجمالي من خلال بنية وأوزان هذه الوصلات. يتم ترتيب الخلايا العصبية في طبقات. يمكن أن تكون هذه الطبقات عبارة عن طبقات إدخال أو طبقات مخفية أو طبقات إخراج. توفر الطبقات المخفية للشبكات القدرة على إجراء تعديلات غير خطية [w]. يمكن أن تنتشر الإشارات بين الطبقات بطريقتين؛ تغذية إلى الأمام وإشارات ردود الفعل. يظهر الهيكل العام لـ ANN في الشكل 2.



شكل (2): يظهر الإدخال والطبقات المخفية وطبقة الإخراج للشبكة العصبية

ARIMA .5

تعتبر السلاسل الزمنية من الاساليب الاحصائية المهمة بسبب طبيعتها الديناميكية في نمذجة البيانات، فهي تجمع البيانات بناءً على المشاهدات السابقة[12]. التنبؤ الناجح بالسلاسل الزمنية هو عملية التنبؤ بالمستقبل من خلال تحليل قيم المشاهدات السابقة للحالة قيد الدراسة. ان أحد أشهر نماذج السلاسل الزمنية العشوائية هو ARIMA [6]. تم بناء ARIMA من خلال ثلاثة نماذج فرعية: الانحدار الذاتي (AR)، والمتوسط المتحرك (MA)، و ARMA. كما أنه مفيد جدًا للتنبؤ المستند إلى السلاسل الزمنية الموسمية[12]. يتم تقدير معلمات السلاسل الزمنية باستخدام الترتيب المناسب لـ (q ، d ، p) ARIMA في المرحلة الثانية من النموذج. تم إعداد ACF (دالة الارتباط الذاتي) و PACF (دالة الارتباط الذاتي الجزئي) بناءً على معلمات p و d و q . المعدلات الأساسية هي كما يلي لـ ARIMA

$$AR(p) : xt = a_0 + a_1x_{t-1} + a_2x_{t-2} + \dots + a_px_{t-p} + e_t \quad (5)$$

$$MA(q) : x_t - a_0 = e_t + b_1e_{t-1} + b_2e_{t-2} + \dots + b_qe_{t-q}, \quad (6)$$

يتم التنبؤ ببيانات السلاسل الزمنية من نموذج ARIMA. حيث تُستخدم دالة التنبؤ للتنبؤ بدالة تركيب النماذج المختلفة. أثناء إجراء ARIMA، يتم اختيار عدد من النماذج بناءً على قيم التأخير (Lags) على AR و MA. يتم تقييم هذه النماذج ويتم تحديد النموذج النهائي بناءً على معيار MAPE الذي يعتبر أدنى قيمة له أقرب إلى البيانات الحقيقية و كذلك على معيار R^2 حيث كلما اقترب قيمته من الواحد الصحيح دل على جودة النموذج، ويتم استخدامه أيضاً لقياس جودة البيانات الإحصائية [8]. حيث ان الصيغ الرياضية لهذه المعيارين كالتالي:

$$MAPE = (1/N) \sum (|y_i - \hat{y}_i| / y_i) \quad (7)$$

$$R^2 = 1 - (\sum (\hat{y}_i - y_i)^2) / \sum (\bar{y} - y_i)^2 \quad (8)$$

حيث ان

y_i : تمثل القيم الحقيقة للظاهر المدروسة

\hat{y}_i : تمثل القيم التقديرية للظاهر المدروسة

\bar{y} : يمثل الوسط الحسابي لقيم الحقيقة للظاهر المدروسة

6. جمع البيانات

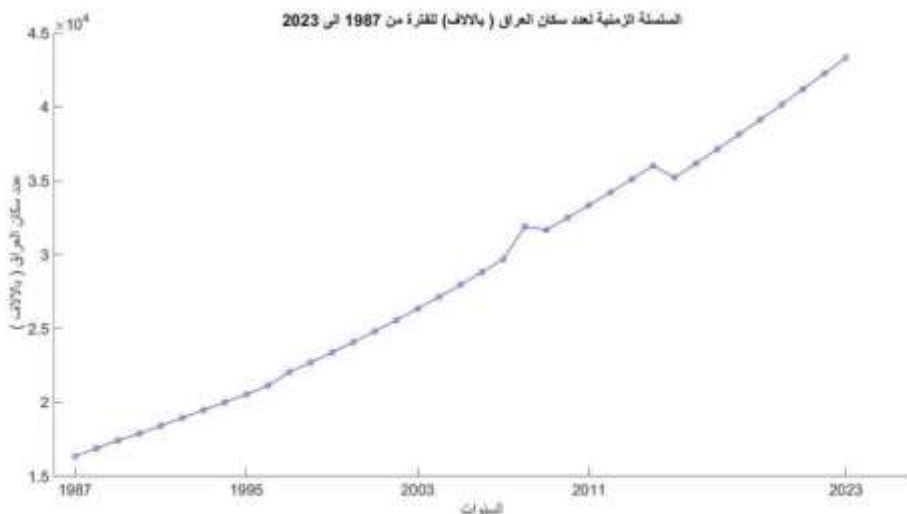
تم في هذا البحث جمع اعداد سكان العراق من عام 1987 والذي يعتبر التعداد العام لسكان العراق قبل الاخير، اذ ان اخر تعداد عام لسكان تم اجراءه في العراق كان في سنة 1997. حيث تم الاعتماد على نشرات وزارة التخطيط/الجهاز المركزي للإحصاء، حيث كانت البيانات المسجلة من عام 1987 الى عام 2023.

جدول (1): يمثل بيانات سكان العراق (بالآلاف)

العدد(بالآلاف)	السنة	الترتيب	العدد(بالآلاف)	السنة	الترتيب
28810	2006	20	16355	1987*	1
29682	2007	21	16892	1988	2
31895	2008	22	17428	1989	3
31664	2009**	23	17890	1990	4
32490	2010***	24	18419	1991	5

33338	2011***	25	18949	1992	6
34208	2012***	26	19478	1993	7
35096	2013***	27	20007	1994	8
36005	2014***	28	20536	1995	9
35213	2015***	29	21124	1996	10
36169	2016***	30	22046	1997*	11
37140	2017***	31	22702	1998	12
38124	2018***	32	23382	1999	13
39128	2019***	33	24086	2000	14
40150	2020***	34	24813	2001	15
41190	2021***	35	25565	2002	16
42248	2022***	36	26340	2003	17
43324	2023***	37	27139	2004	18
			27963	2005	19

*حسب نتائج التعداد العام للسكان ، **حسب نتائج الترقيم والحصر لعام ، ***محاسبة حسب فرضيات سكانية جديدة (2023-2010).



شكل (3): يبين عدد سكان العراق(بالآلاف) من 1987-2023

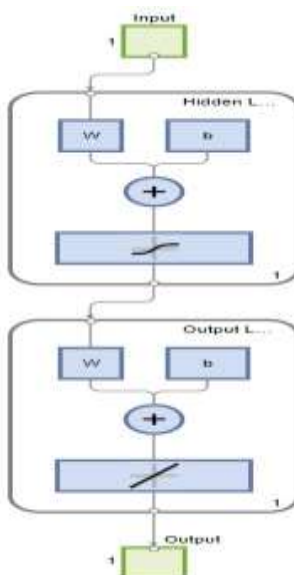
7. النتائج ومناقشتها

في هذا القسم، تم دراسة القدرة التنبؤية لخوارزمية تعلم الآلة والمتمثلة (ANN) المستخدمة في الدراسة وتمت مقارنة النتائج. باستخدام التحديد العشوائي، يتم تقسيم مجموعة بيانات التدريب الأصلية إلى مجموعات بيانات تدريب واختبار لنموذج التعلم الآلي. وهذا ضروري لتدريب النماذج ومقارنتها واختبارها. تم استخدام 70% من البيانات لتدريب النماذج و30% لبيانات الاختبار. تم إجراء تحليل البيانات باستخدام لغة البرمجة Matlab2022A حيث كانت النتائج التدريب والاختبار كما موضح في الجدول 2.

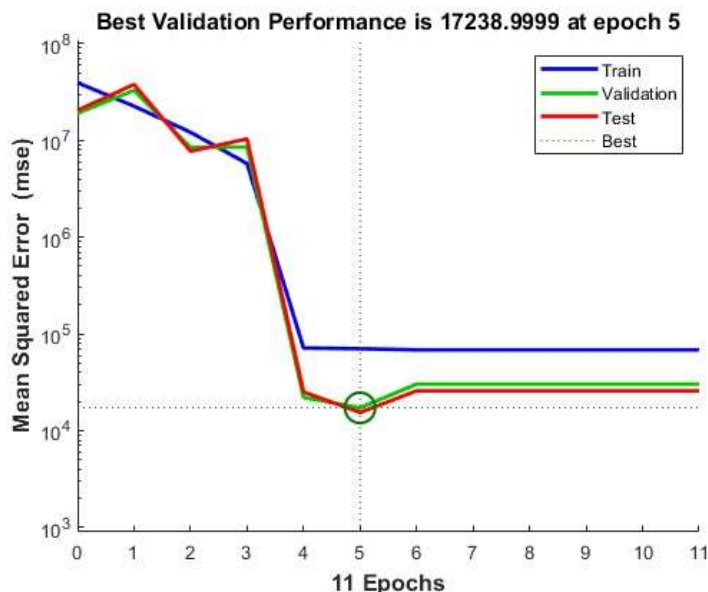
جدول (2): يمثل نتائج الشبكة العصبية

R ² (%)	MAPE (%)	عدد العقد المستخدمة	عدد الطبقات	عدد المشاهدات الاختبار	عدد المشاهدات التدريب
0.9644	0.0673414	100	1	10	27
0.9982	0.0512402	150			
0.9752	0.0601213	200			

اذ كان عدد مشاهدات التدريب 27 مشاهدة وعدد مشاهدات الاختبار 10، اما عدد الطبقات التي استخدمت هو 1 في حين تم استخدام عدد عقد (100, 150 و 200). ومن خلال نتائج الشبكة العصبية نلاحظ ان اقل قيمة لمعيار MAPE كانت عند عقد 150 حيث بلغت (0.512402) في حين كانت اعلى قيمة لـ R² عند نفس عقد اذ بلغت (0.9982). كما موضح بالاشكال التالية:

**شكل (4): يمثل معمارية الشبكة العصبية**

ومن خلال الشكل اعلاه نلاحظ إن متغيرات الإدخال مرتبطة بعقد الطبقة المخفية والتي عددها (150) عقدة وكلها مرتبطة بعقدة الإخراج وان قوة العلاقة ما بين العقد سواء كانت للإدخال والإخراج يتحدد من خلال قيم الارزان (W_{ij}) والتي تعطى بشكل ابتدائي لكي يتم تدريب الشبكة عليها من خلال عملية الانبعاث الخلفي للبيانات.

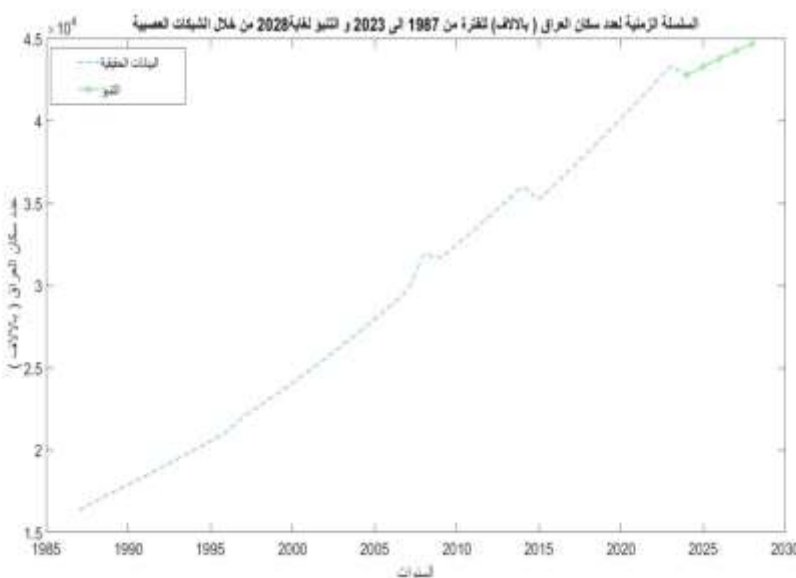
**شكل (5): يمثل التحقق الشبكة العصبية**

من خلال الشكل اعلاه نلاحظ ان افضل معدل خطا توصلت الي هو عند النقطة 10^4 من خلال عملية تدريب او زان الشبكة العصبية والتي تحقق عند (1723.99) عند الدورة الخامسة وان العدد الكلي للدورات حتى التوقف هو 11 .
وان القيم التنبؤية التي لعدد سكان العراق لخمسة سنوات قادمة كانت:

جدول (3): يمثل القيم التنبؤية لسكان العراق (بالألاف) لخمسة سنوات قادمة من خلال الشبكات العصبية

السنة	الترتيب
العدد (بالألاف)	
2024	1
42775.6865	
2025	2
43298.7062	
2026	3
43791.6454	
2027	4
44255.1447	
2028	5
44690.0010	

حيث نلاحظ من خلال نتائج التنبؤ بالشبكة العصبية ان عدد سكان العراق سيزداد ليصل في عام 2028 الى 44690.0010 (بالألف) وكما موضح بالشكل 6



شكل (6): يمثل التنبؤ بعدد سكان العراق للفترة (2024-2028) من خلال الشبكة العصبية
ومن ايجاد افضل نموذج ARIMA يتلاءم مع البيانات تم الاعتماد على قيم المعايير الاحصائية (R^2 , MAPE) وعلى
مصفوفة الارتباط الذاتي ومصفوفة الارتباط الذاتي الجزئي ، ول يكن فحصه دقيق فسنقوم بعمل جدول يمثل المعايير الاحصائية
للمودج الافضل

جدول (4): يمثل نتائج نماذج ARIMA

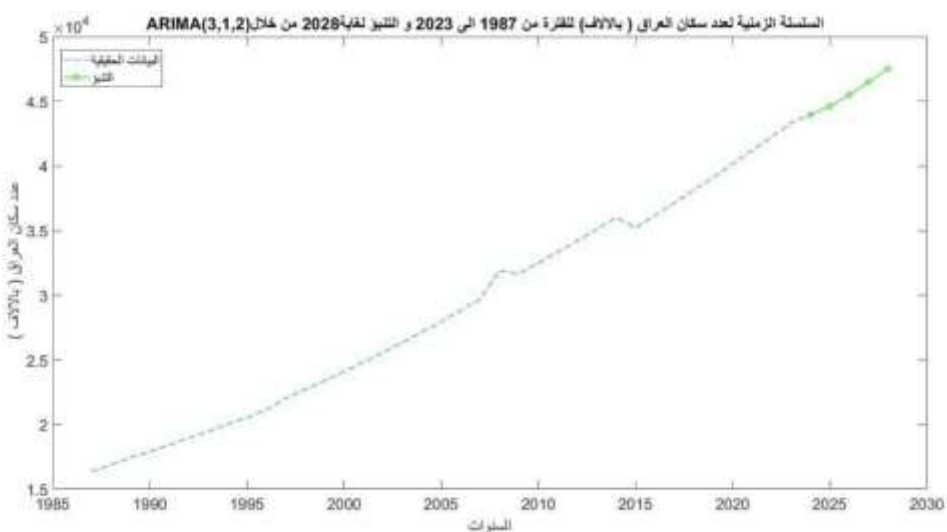
Models	MAPE%	$R^2 \%$
ARIMA(1,1,0)	0.1271	0.9943
ARIMA(2,1,0)	0.1183	0.9953
ARIMA(3,1,0)	0.1109	0.9958
ARIMA(1,1,1)	0.0884	0.9968
ARIMA(2,1,1)	0.0838	0.9973
ARIMA(3,1,1)	0.1125	0.9953
ARIMA(3,1,2)	0.0704	0.9975
ARIMA(1,2,1)	0.0807	0.9970

من خلال جدول 4 وبعد حساب قيمة المعايير نلاحظ ان النموذج ARIMA(1,2,1) هو الاكثر ملائمة للبيانات حيث بلغ
قيمة MAPE هو 0.0704 و قيمة R^2 0.9975.

جدول (5): يمثل القيم التنبؤية لسكان العراق(بالآلاف) لخمسة سنوات قادمة من خلال ARIMA

السنة	العدد (بالآلاف)	الترتيب
2024	43960.2781	1
2025	44618.2294	2
2026	45493.0341	3
2027	46497.3235	4
2028	47516.3113	5

حيث نلاحظ من خلال نتائج التنبؤ بالشبكة العصبية ان عدد سكان العراق سيزداد ليصل في عام 2028 الى 47516.3113 (بالآلف) وكما موضح بالشكل 7



شكل (7): يمثل التنبؤ بعدد سكان العراق للفترة (2024-2028) من خلال نموذج ARIMA(3,1,2)
جدول (6): يمثل مقارنة القيم التنبؤية لسكان العراق (بالألاف) لخمسة سنوات قادمة

النسلسل	السنة	الشبكات العصبية العدد (بالألاف)	ARIMA(3,2,1) العدد (بالألاف)
1	2024	42775.6865	43960.2781
2	2025	43298.7062	44618.2294
3	2026	43791.6454	45493.0341
4	2027	44255.1447	46497.3235
5	2028	44690.0010	47516.3113

8. الاستنتاجات

من خلال ما تقدم من نتائج من خلال استخدام اسلوبين في التنبؤ بعدد سكان العراق لخمسة سنوات قادمة، نلاحظ تفوق تعليم الآلة المتمثل بالشبكات العصبية ذات الانبعاث الخلفي، اذ كانت تمتلك اقل MAPE وعلى اعلى R^2 , اذ ان نتائج الشبكة العصبية تتباين بارتفاع عدد سكان العراق الى ما يقارب 44690.0010 (بالألاف) في عام 2028.

المصادر

- [1] Ahmad, A.S., Hassan, M.Y., Abdullah, M.P., Rahman, H.A., Hussin, F., Abdullah, H. and Saidur, R. (2014) ‘A review on applications of ANN and SVM for building electrical energy consumption forecasting’, Renewable and Sustainable Energy Reviews, Vol. 33, No. 1, pp.102–109.
- [2] Alkema, L., Raftery, A.E., Gerland P., Clark, S.J. and Pelletier, F. (2012) ‘Estimating trends in the total fertility rate with uncertainty using imperfect data: examples from west Africa’, Demographic Research, Vol. 26, No. 15.
- [3] B. Nazlı, Y. Gültepe, and H. Altural, "Classification of Coronary Artery Disease Using Different Machine Learning Algorithms," International Journal of Education and Management Engineering (IJEME), Vol.10, No.4, pp.1-7, 2020. DOI: 10.5815/ijeme.2020.04.01
- [4] Bandyopadhyay, G. and Chattopadhyay, S. (2006) An Artificial Neural Net Approach to Forecast the Population of India, arXiv preprint nlin/0607058.
- [5] Bélisle, E., Huang, Z., Le Digabel, S. and Gheribi, A.E. (2015) ‘Evaluation of machine learning interpolation techniques for prediction of physical properties’, Computational Materials Science, Vol. 98, pp.170–177.
- [6] Boon, M.E. and Kok, L.P. (1995) ‘Classification of cells in cervical smears’, Applications of Neural Networks, Springer, Boston, MA, pp.113–131.
- [7] C.Y. Wang and S.J. Lee, “Regional Population Forecast and Analysis Based on Machine Learning Strategy,” Entropy, vol. 23, no. 656, pp. 1-12, 2021. Available at: <https://doi.org/10.3390/e23060656>

- [8] D. Chicco, M.J. Warrens, G. Jurman, "The coefficient of determination R-squared is more informative than SMAPE, MAE, MAPE, MSE and RMSE in regression analysis evaluation," Peer J Computer Science 7:e623, 2021,<https://doi.org/10.7717/peerj-cs.623>
- [9] Kara, Y., Boyacioglu, M. A., & Baykan, Ö. K. (2011). "Predicting direction of stock price index movement using artificial neural networks and support vector machines: The sample of the Istanbul Stock Exchange." Expert Systems with Applications 38(5): 5311-5319.
- [10] Minal Patel, Sanjay Chaudhary, Sanjay Garg, "Machine Learning Based Statistical Prediction Model for Improving Performance of Live Virtual Machine Migration", Journal of Engineering, vol. 2016, Article ID 3061674, 9 pages, 2016. <https://doi.org/10.1155/2016/3061674> Vol. 3, No. 8, p.311.
- [11] S. B. Rajakumari, P. Padmanabhan, S. Christy, and M. Nandhini, "Prediction of population growth using machine learning techniques," European Journal of Molecular & Clinical Medicine, Vol.7, No. 5, pp. 1871-1879, 2020.
- [12] V. S. Fatih, T.T. Ahmet, and C. Ferhan, "Machine Learning algorithm to forecast the population: Turkey Example," in Proceedings of International Engineering and Technology Management Summit 2019 – ETMS. Available at: www.researchgate.net/publication/33714439

AL- Rafidain
University College

PISSN: (1681-6870); EISSN: (2790-2293)

Journal of AL-Rafidain University College for Sciences

Available online at: <https://www.jrucs.iq>
JRUCS
Journal of AL-Rafidain
University College
for Sciences

Using Machine Learning in Statistical Models for Population Forecasting in Iraq

Omar A. Abd Alwahabomaradil.d87@gmail.comStatistic Department, College of Administration
and Economics, University Of Diyala, Diyala,
Iraq**Maryam M. Salman**maryam90salman@gmail.comIbn Sina University of Medical and
Pharmaceutical Sciences, Baghdad, Iraq

Article Information

Article History:

Received: February, 18, 2024

Accepted: April, 12, 2024

Available Online: December,
31, 2024

Keywords:
Population projections, machine
learning, neural networks,
ARIMA, prediction.

Abstract

Statistical studies are the primary focus of the independent planning method in any country, as the state and the private sector use population projections in planning. Another essential element is the provision of comprehensive services, which requires knowing how many people there will be in the future, and what they are divided by age, gender and characteristics, such as ethnicity. Geography, etc. Population forecasts are also widely used in the private sector for strategic planning, as population projections are considered one of the most important indicators used by its maker and population analyzes over time. In this research, the machine Learning by using neural networks, in addition to using a classical method, which is the ARIMA time series model, to predict population projections. The internal data was scanned in both methods, up to 70% training and 30% testing, and a five-year forecast for the Iraqi population. The research found that machine learning has an advantage in estimation because it has the lowest MAPE and higher R2. The population forecast of Iraq in 2028 is 47,516.3113 (per thousand).

Correspondence:

Omar A. Abd alwahab

omaradil.d87@gmail.comDOI: <https://doi.org/10.55562/jrucs.v56i1.8>